

بررسی تاثیر پیرسازی ترمومکانیکی بر خواص مکانیکی آلیاژ آلمینیم ۷۰۷۵

سعید شبستری، محمدرضا ابotalibi، میثم ایرانی و احمد نورمحمدی اصل

چکیده: آلیاژ آلمینیم ۷۰۷۵ از جمله آلیاژهای نوردی است که قابلیت عملیات حرارتی رسب سختی را دارا می‌باشد. این آلیاژ جزء خانواده آلیاژهای Al-Zn-Mg می‌باشد که از استحکام و خواص مکانیکی بالایی برخوردار بوده و در صنایع نظامی و هوا فضا کاربرد وسیعی دارد. سیکل عملیات حرارتی رسب سختی این آلیاژ طولانی است، از این رو کاهش زمان عملیات حرارتی از لحاظ اقتصادی حائز اهمیت است. هدف اصلی این پژوهش کاهش زمان عملیات حرارتی با استفاده از تلفیق سیکل پیرسازی دوگانه (Duplex Aging) و کار مکانیکی (عملیات نورد) می‌باشد. این سیکل شامل عملیات ترمومکانیکی از نوع T-AHA T می‌باشد که به FTMT معروف است. در این سیکل دماهای پیرسازی اولیه و ثانویه متفاوت بوده و عملیات نورد در دمای محیط انجام می‌گیرد در نهایت عوامل موثر در این فرآیند مورد بررسی قرار گرفته است. نتایج حاصله نشان می‌دهد که عملیات ترمومکانیکی مذکور در مقایسه با سیکل متداول T6، تاثیر چندانی بر روی سختی آلیاژ ندارد اما باعث کاهش زمان عملیات حرارتی به میزان ۵۸ درصد، افزایش استحکام تسلیم به میزان ۹ درصد و افزایش استحکام کششی به میزان ۵/۵ درصد می‌گردد در حالی که درصد افزایش طول آلیاژ در اثر اعمال سیکل ترمومکانیکی تغییر چندانی نمی‌کند.

واژه‌های کلیدی: آلیاژ آلمینیم ۷۰۷۵، عملیات ترمومکانیکی، پیرسازی دوگانه، نورد

یکی از مسایل مربوط به آلیاژ آلمینیم ۷۰۷۵، حساسیت به خوردگی تنشی (S.C.C) می‌باشد که مانع از کاربرد این آلیاژ در بعضی اهداف مهندسی می‌شود. با توجه به نتایجی که توسط A. F. Habiby و Ulmaq ارایه شده است مشخص گردیده که پیرسازی دو مرحله‌ای در بهبود مقاومت به خوردگی این آلیاژ بسیار موثر است [۱].

در رسب سختی آلیاژ آلمینیوم ۷۰۷۵ اولین فاز رسوبی فاز هم سیمای GP با شکل کروی و شبکه FCC می‌باشد. پس از آن فاز نیمه هم سیمای η و در نهایت فاز غیر هم سیمای η پایدار می‌باشد و بر خلاف GP این دو فاز رسوبات شش وجهی هستند [۴,5]. Thomas و Mutting در بررسی های خود نشان دادند که رسوبات η به شکل صفحات نازک بر روی $\alpha\{111\}$ تشکیل می‌شوند و در هنگام رسیدن به بیشینه سختی در دمای 130°C وجود دارند [۶].

اثر استحکامدهی فرآیند پیرسازی به دلیل متوقف شدن نابجایی‌ها به وسیله رسوبهای تشکیل شده از محلول جامد فوق اشباع می‌باشد [۷]. تا زمانی که ذرات رسوبی کوچک، هم سیما و نزدیک به هم هستند به وسیله نابجایی‌های متحرک بریده می‌شوند (سخت شدن شیمیایی). با ادامه رشد رسوبهای نابجایی طی مکانیزم اروان بدون برش، رسوب را پشت سر می‌گذارد. با افزایش فاصله رسوبهای تنش لازم برای عبور نابجایی کاهش می‌یابد و بنابراین استحکام

۱. مقدمه

در بین آلیاژهای کارپذیر آلمینیم که قابلیت عملیات حرارتی رسب سختی دارند آلیاژهای سری ۲۰۰۰ و ۷۰۰۰ به علت دستیابی به خواص مکانیکی مطلوب از اهمیت خاصی برخوردار هستند [۱]. آلیاژ ۷۰۷۵ آلمینیم یکی از مهمترین آلیاژهای سری ۷۰۰۰ آلمینیم است که به علت نسبت استحکام به وزن بالا کاربرد گسترده‌ای در صنایع هوا و فضا دارد. این آلیاژ از عنصر پایه آلمینیم، عناصر آلیاژی اصلی Cu، Mg، Zn و عناصر فرعی Cr، Mn و ناخالصی هایی نظیر Fe، Si، Zr، Cr و عناصر فرعی MgZn₂ که معمولاً همراه آلمینیم وجود دارند، تشکیل شده است و بسته به ترکیب شیمیایی، انواع ترکیبات بین فلزی در آن وجود دارند. ذرات رسوبی نظیر MgZn₂ که در اثر عملیات رسب سختی بوجود آمده و باعث افزایش استحکام آلیاژ می‌شوند از آن جمله هستند [۳] و [۲].

مقاله در تاریخ ۱۳۸۳/۲/۱۹ دریافت شده و در تاریخ ۱۳۸۳/۱۰/۱۹ به نصویب نهایی رسیده است.

دکتر سعید شبستری دانشیار دانشکده مهندسی مواد و متالورژی دانشگاه علم و

صنعت ایران، shabestari@iust.ac.ir

دکتر محمدرضا ابotalibi دانشیار دانشکده مهندسی مواد و متالورژی دانشگاه علم و

صنعت ایران، mreza_ab@iust.ac.ir

میثم ایرانی مهندس مواد و متالورژی

احمد نورمحمدی اصل مهندس مواد و متالورژی

طرفی ضرب نفوذ اتمهای محلول در آلیاژهای جانشینی به وسیله مکانیزم جاهای خالی کنترل می شود و ضرب نفوذ با افزایش جاهای خالی در اثر انجام تغییر فرم پلاستیک افزایش می یابد. در نتیجه با افزایش ضرب نفوذ سرعت رسوب گذاری در حین پیرسازی بعد از انجام کار مکانیکی بیشتر می شود[14, 15].

در اثر افزایش نابجایی‌ها در اثر کار مکانیکی میانی در حین پیرسازی، رسوب گذاری بر روی نابجایی‌ها ارجحیت پیدا کرده و علاوه بر تسریع رسوب گذاری حصول ساختاری یکنواخت با پراکندگی ریز را نیز امکان پذیر می سازد که در نهایت موجب بدست آمدن استحکام بالاتر در زمان کمتر می شود. پس می توان اثر کار مکانیکی را افزایش سرعت رسوب گذاری و خواص آلیاژ حین سیکل پیرسازی ترمومکانیکی نهایی دانست[16].

۲. روش تحقیق

نمونه ای از ورق آلیاژ آلومینیم ۷۰۷۵ به ضخامت $1/2$ میلی متر مورد آزمایش سختی سنجی و آنالیز شیمیایی قرار گرفت که سختی نمونه HB ۱۳۶ و ترکیب شیمیایی آلیاژ مطابق جدول ۱ مشخص گردید. جهت اعمال سیکلهای ترمومکانیکی تعداد ۱۴ عدد نمونه با ابعاد $6\text{cm} \times 2/5\text{cm}$ بریده و آماده سازی گردید. سپس شش نمونه آزمایش کشش (جهت سیکل بهینه و سیکل T6 نیز با ابعاد $2\text{cm} \times 20\text{cm}$ نیز تهیه گردید. ده نمونه دیگر نیز جهت انجام سیکل T6 انتخاب گردیدند.

از آنجایی که آلیاژ تهیه شده دارای سختی بالایی بود و از تاریچجه سیکلهای عملیات حرارتی اعمالی در حین تولید اطلاعی در دست نبود، لذا روی کلیه نمونه ها، سیکل عملیات آنیل همگن سازی در دمای 415°C به مدت ۷۵ دقیقه اعمال گردید و سپس نمونه ها در کوره به آرامی سرد شدند[17]. سختی نمونه ها پس از عملیات آنیل برابر HB ۶۰ گردید که معادل سختی حالت آنیل آلیاژ می باشد[17]. سپس تمام نمونه های آنیل شده تحت عملیات محلول سازی در دمای $478 \pm 3^{\circ}\text{C}$ به مدت ۷۵ دقیقه (باتوجه به ضخامت نمونه ها) قرار گرفتند و در محیط کوئنچ آب سرد با تلاطم کم (دمای ابتدایی آب برابر 11°C بود) شوکه و سرد شدند[17]. لازم به ذکر است که زمان انتقال نمونه ها از کوره به درون ظرف آب کمتر از ۱۰ ثانیه بود و دمای آب نیز از 15°C بیشتر نشد. تعداد ده نمونه تحت عملیات پیرسازی مصنوعی T6 در دمای 120°C قرار گرفته[17] و سپس در زمانهای $1, 10, 15, 18, 20, 22, 24, 26, 28$ و 30 ساعت از کوره خارج شدند و پس از سرد شدن در هوا سختی سنجی انجام شد.

تعداد چهارده نمونه دیگر پس از شوکه شدن در آب تحت شرایط مختلف، مورد عملیات ترمومکانیکی قرار گرفتند. این سیکلهای شامل پیرسازی اولیه، عملیات نورد و پیرسازی ثانویه می باشد که نمای شماتیک آن در شکل ۱ ارایه شده است.

کاهش می یابد. یکی دیگر از عوامل موثر در رسوب سختی عنصر آلیاژی می باشد که با تشکیل فازهای بین فلزی باعث افزایش استحکام زمینه می شود. همچنین انجام کار سرد نیز به افزایش استحکام کمک خواهد کرد[8]. بیشترین استحکام در این آلیاژ در شرایطی که مناطق GP به همراه مقدار قابل توجیه فاز' η تشکیل شده است حاصل می شود. اگر چه مناطق GP به عنوان عامل اصلی استحکام بیشینه معرفی شده اند ولی استحکام بیشینه در آلیاژ ۷۰۷۵ به فازهای دیگر نیز بستگی دارد[9].

عملیات رسوب سختی در ابتدا بصورت یک مرحله محلول سازی و کوئنچ و سپس پیرسازی در یک دمای خاص تعریف گردید و لی با شناخت مکانیزم‌هایی که حین عملیات حرارتی و ایجاد تغییرشکل در فرآیندهای استحکام‌دهی فعال می شوند، ایده استفاده همزمان از این فرآیند ها مطرح گردید و سیکل های پیچیده تری به منظور دستیابی به خواص بهتر حین انجام فرآیند رسوب سختی تعریف گردید[10, 11]. اگر T را نشانگر عملیات محلولی و کوئنچ، H را نشانگر کار مکانیکی، A را نشانه پیرسازی بدانیم سیکلهای T-AA، T-HAA، T-AH، T-HA و بالاخره^۱ T-AHA سیکل های هستند که می توان روی آلیاژ آلومینیم ۷۰۷۵ اعمال کرد. در این راستا Flemings و همکارانش با تعریف سیکل T-HA توانستند به نتایج مثبتی دست پیدا کنند. پس از آن Mercier نیز روی نتایج بدست آمده از سیکلهای مشابهی کار کرد و توانست به ترکیب مناسبی از استحکام و درصد ازدیاد طول دست یابد. اما مرحله جدیدی از تحقیقات توسط Pavlov انجام گرفت که تانیر کار گرم را بررسی کرد. اگرچه او توانست به نتایج مطلوبی برسد اما تفاوت چندانی با نتایج کار دانشمندان قبل نداشت[11]. یکی از انواع این سیکلها که در این پژوهش مورد استفاده قرار گرفته است، عملیات Final Thermo Mechanical Treatment (FTMT) نهایی یا (Treatment) می باشد که شامل یک تغییر شکل پلاستیک سرد بین دو مرحله پیرسازی اولیه و پیرسازی مصنوعی نهایی بوده و دمای دو مرحله پیرسازی نیز متفاوت می باشد[12]. افزایش استحکام بدون کاهش قابل توجه داکتیلیته در آلیاژهای با اعمال سیکل عملیات حرارتی FTMT میسر می باشد. این افزایش استحکام ناشی از اثر همزمان FTMT استحکام بخشی نابجایی ها و رسوبها می باشد. بیشترین مزایای اعمال سیکل FTMT در محصولات نوردی برای مثال ورقها ظهرور می یابد. سیکل FTMT تغییر چندانی در مقاومت به خوردگی تنشی ایجاد نمی کند ولی باعث افزایش مقاومت به شکست می شود[11].

در عملیات ترمومکانیکی ترتیب مراحل فرآیند بسیار مهم است، زیرا ساختار فرعی اولیه عمل مکانیزم ثانویه را تحت تاثیر قرار می دهد[13]. کار مکانیکی میانی در این فرآیند باعث افزایش دانسیته عیوب، بویزه جاهای خالی و نابجایی های قفل شده می گردد. از

^۱ T-AHA= Solution and Quenching+ Aging+ Hardening+ Aging

جدول ۱. ترکیب شیمیایی آلیاژ آلومینیم ۷۰۷۵ مورد استفاده

عنصر	Al	Mg	Zn	Cu	Mn	Cr	Ni	Fe	Si	Sn	Zr	Ti	others
نمونه	۹۰/۲۰۰	۲/۱۴۰	۵/۶۲۹	۱/۵۶۶	۰/۰۲۵	۰/۱۹۵	۰/۰۰۲	۰/۱۷۴	۰/۰۴۷	۰/۰۰۱	۰/۰۰۴	۰/۰۱۰	۰/۰۰۷

ساعت به ۱۵۶HB می رسد و پس از آن فرایپری و کاهش سختی رخ می دهد.

۲-۳. بررسی سیکل های پیرسازی دوگانه^۱

در این پژوهش دو سیکل مختلف پیرسازی دوگانه مورد بررسی قرار گرفته است. در هر دو منحنی ارایه شده در شکل ۳ مشاهده می شود که پس از افزایش سختی و رسیدن به یک سختی بیشینه، سختی کاهش می یابد. با مقایسه منحنی های مربوط به پیرسازی اولیه در ۱۰۵°C به مدت ۶ و ۱۴ ساعت مشاهده می شود که منحنی مربوط به ۱۴ ساعت پیرسازی اولیه دارای بیشینه سختی بالاتری است و این بیشینه در زمان کمتری نسبت به سیکل مربوط به ۶ ساعت پیرسازی اولیه روی داده است. در ضمن در هر دو سیکل شاهد کاهش سرعت افزایش سختی با گذشت زمان تا رسیدن به بیشینه سختی هستیم. اما در زمانهای اولیه پیرسازی ثانویه سرعت افزایش سختی در سیکل مربوط به ۱۴ ساعت پیرسازی اولیه، بیشتر است. علت ادامه روند افزایش سختی پس از مرحله پیرسازی اولیه در شکل ۳، عدم اتمام مرحله جوانه زنی و رشد جوانه در مرحله اول می باشد. نکته جالب توجه بالا بودن سختی نمونه های ۱۴ ساعت پیرسازی اولیه شده در زمان کمتر می باشد. این امر را می توان به میزان رسوبات ریز با توزیع یکنواخت در پایان مرحله پیرسازی اولیه مربوط دانست. زیرا در دمای پیرسازی اولیه پایین شرایط برای ایجاد رسوبات ریز با توزیع همگن فراهم می باشد که این رسوبات ریز در مرحله پیرسازی ثانویه به عنوان محلهای جوانه زنی عمل می کنند لذا در مورد نمونه های ۱۴ ساعت پیرسازی اولیه شده در مقایسه با نمونه های ۶ ساعت پیرسازی اولیه شده میزان این رسوبات ریز و همگن بیشتر بوده و در نتیجه ساختار نهایی دارای رسوبات ریز و یکنواخت تری خواهد بود که منجر به حصول سختی بالاتری می شود.

۳-۳. بررسی تاثیر زمان پیرسازی اولیه در سیکلهای ترمومکانیکی

در شکل های ۴، ۵، ۶ و ۷ اثر اعمال زمان های پیرسازی اولیه متفاوت بر سختی حاصل از پیرسازی ثانویه در درصد های ثابت نورد ارایه گردیده است. در تمام این نمودارها با مشاهده روند معمول

جهت انجام پیرسازی اولیه چهارده نمونه در دمای ۱۰۵°C قرار داده شدند که هفت نمونه به مدت شش ساعت و بقیه به مدت چهارده ساعت در کوره نگهداری شدند. پس از انجام عملیات پیرسازی اولیه عملیات نورد بر روی نمونه ها انجام گرفت. این عملیات در دمای محیط توسط دستگاه نوردی با قدرت ۵/۵ تن که دارای غلطکهایی به قطر ۹/۰۱۸ cm با سختی سطح HRC ۵۵ و با سرعت چرخش ۲۷ دور در دقیقه بود، انجام گرفت. سپس هر یک از هفت نمونه مربوط به هر کدام از سیکلهای پیرسازی اولیه با درصد معینی نورد شدند. درصد های اعمالی عبارتند از: ۰، ۰، ۱۰، ۱۵، ۲۰، ۲۵، ۳۰ که در هر دو سیکل نمونه های ۲۵ و ۳۰ درصد نورد و در سیکل ۱۴ ساعت پیرسازی اولیه نمونه ۲۰ درصد نورد نیز ترک خورند.

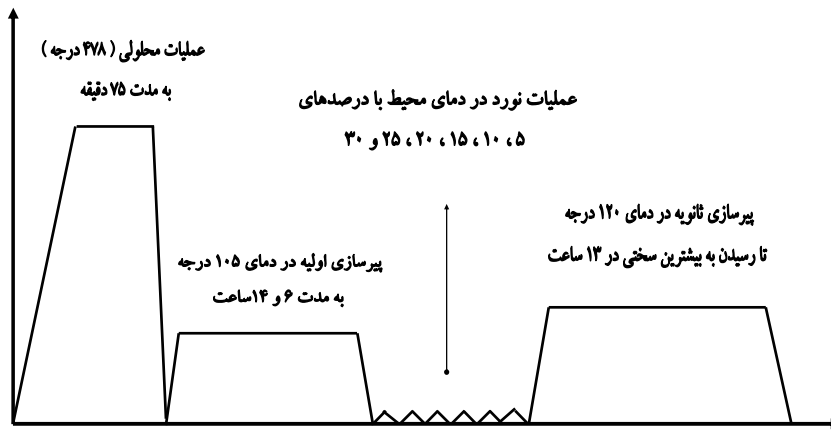
به منظور انجام عملیات پیرسازی ثانویه پس از انجام عملیات نورد هر یک از نمونه های مربوط به یک سیکل مشخص به هشت قسمت تقسیم و در دمای ۱۲۰°C قرار داده شدند و در راس زمانهای انتخابی ۰، ۱، ۴، ۷، ۸، ۱۰، ۹، ۱۳ ساعت یک نمونه از هشت نمونه مربوط به هر کدام از سیکلهای از کوره خارج و نامگذاری شد. سختی سنجی ها در این تحقیق توسط دستگاه سختی سنجی برینل ساخت شرکت Karl Colb انجام گرفت. قطر ساقمه فولادی مورد استفاده ۲/۵mm و بار اعمالی برابر ۶۲/۵ Kgf بود. پس از سختی سنجی و تعیین سیکل بهینه، آزمایش کشش برای سیکل شهینه و سیکل پیرسازی مصنوعی T6 توسط دستگاه کشش Shenck بر طبق استاندارد ASTM – B557M Trebel 200 KN

۳. نتایج و بحث

۱-۳. نتایج حاصل از سیکل پیرسازی مصنوعی (T6)

در شکل شماره ۲ شاهد افزایش سختی در مرحله پیرسازی در دمای ۱۲۰ می باشیم که دلیل آن شروع رسوب گذاری فازهای GP از محلول جامد فوق اشباع می باشند. در ابتدا فازهای هم سیمای GP جوانه می زند. با گذشت زمان این فازها تبدیل به فازهای نیمه هم سیمای نیمه می شوند. با تولید این فازها مکانیزم اروان به عنوان سیستم استحکام دهنده فعال می شود. در این حالت به ترکیبی از فازهای GP و نیمه می رسیم و بهترین استحکام حاصل می گردد. با گذشت زمان فازهای نیمه هم سیمای نیمه می تبدیل به فازهای غیر هم سیمای نیمه می گرددند در نتیجه افت سختی آغاز می شود. سپس فازهای پایدار نیمه می تبدیل به فازهای نیمه هم سیمای نیمه می شوند که مرحله فرایپری نام دارد. بیشینه سختی پس از

^۱ Duplex Aging



ضریب نفوذ اتمهای محلول در آلیاژهای تغییر شکل یافته بسیار پایین است و باعث مهاجرت آنها به سمت نابجایی ها نمی شود، در حالی که نفوذ اتمهای محلول در آلیاژهای جانشینی به وسیله مکانیزم جاهای خالی کنترل می شود. در اثر کار مکانیکی دانسته عیوب، بویژه جاهای خالی و نابجایی های قفل شده افزایش می یابد. از طرفی ضریب نفوذ اتمهای محلول در آلیاژهای جانشینی به وسیله مکانیزم جاهای خالی طبق رابطه (۱) کنترل می شود[۱۵].

$$D \approx a^2 \gamma Z C_v \exp(-E_m/RT) \quad (1)$$

که در آن a فاصله بین اتمی، γ فرکانس متوسط ارتعاش اتمها، Z عدد همسایگی، C_v غلظت جاهای خالی، E_m انرژی مهاجرت جاهای خالی، K ثابت بولتزمن و T دما می باشد. همچنانی ضریب نفوذ با افزایش جاهای خالی در اثر انجام تغییر فرم پلاستیک طبق رابطه (۲)، $(\epsilon = \text{کرنش پلاستیک})$ ، m و k ثوابت ماده می باشند) افزایش می یابد[۱۵].

$$C_v = K \epsilon_0^m \quad (2)$$

با توجه به روابط فوق می توان گفت که انجام کار مکانیکی میانی باعث افزایش چگالی جاهای خالی (C_v) می شود در نتیجه ضریب نفوذ اتم ها در زمینه افزایش می یابد و سینتیک رسوب گذاری سریع تر خواهد شد. در کنار این مساله کانال های نابجایی ایجاد شده نیز باعث تسهیل فرآیند نفوذ و تسريع سینتیک رسوب گذاری می شوند. بنابراین اختلاف زمان حصول سختی بیشینه بین دو سیکل ترمومکانیکی با شرایط پیرسازی اولیه متفاوت در نمودارهای ۴ تا ۷ با افزایش درصد نورد کاهش می یابد به طوری که با فعال شدن مکانیزم های فوق بیشینه سختی در نمودارهای ۵ و ۶ تقریبا در مدت زمان مساوی بدست آمده است.

۴-۳. بررسی تاثیر درصد نورد

در شکل های ۸ تا ۱۰ تغییرات سختی با گذشت زمان در سیکل های ترمومکانیکی با اعمال درصد های مختلف نورد پس از پیرسازی اولیه طبیعی، ۶ ساعت پیرسازی اولیه در دمای ۱۰۵ درجه سانتیگراد

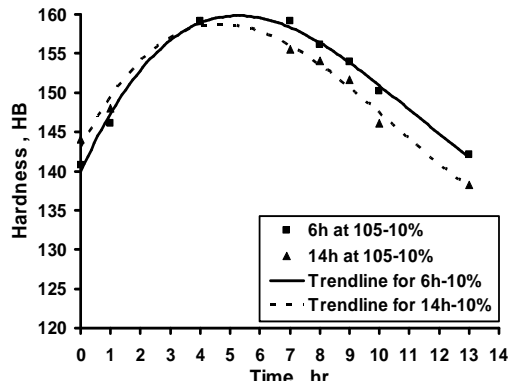
افزایش سختی تا رسیدن به یک بیشینه سختی و سپس کاهش سختی مواجه هستیم. همانگونه که در شکل ۴ مشاهده می شود با ۵ درصد نورد نمونه های مربوط به ۱۴ ساعت پیرسازی اولیه نسبت به نمونه های ۶ ساعت پیرسازی اولیه در زمان کمتری در پیرسازی ثانویه به بیشینه سختی رسیده اند. اما زمان پیرسازی اولیه تاثیر چندانی بر روی سختی بیشینه حاصل نداشته اند. علاوه بر این با افزایش درصد نورد اعمالی زمان حصول سختی بیشینه در سیکل های با پیرسازی اولیه ۶ و ۱۴ ساعت به هم نزدیک می شود. در نمودار شکل ۷ نیز شاهد حصول بیشینه سختی در زمانهای کمتر پیرسازی ثانویه برای سیکل مربوط به ۶ ساعت پیرسازی اولیه می باشیم. در این شکل فقط نمودار مربوط به سیکل ۶ ساعت پیرسازی اولیه ارایه شده است و نمونه های مربوط به ۱۴ ساعت پیرسازی اولیه به دلیل سختی بالا پس از پیرسازی اولیه در حین ۲۰ درصد نورد ترک خورده و از بین رفتهند.

با دقت در اشکال ۴، ۵، ۶ و ۷ مشاهده می شود که در تمامی نمودارها با افزایش زمان پیرسازی اولیه شاهد کاهش زمان رسیدن به سختی بیشینه مواجه هستیم. این مطلب به خاطر تاثیر همزمان پیرسازی اولیه در دمای پایین نورد می باشد.

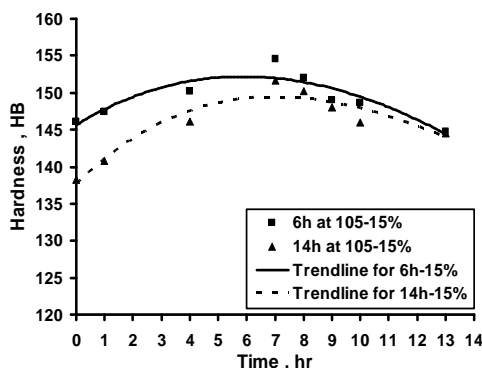
اثر پیرسازی اولیه را می توان بدین صورت بیان کرد که به علت پایین بودن دمای پیرسازی شرایط برای تشکیل رسوبات ریز و یکنواخت GP بیشتر فراهم می گردد. عملیات مکانیکی نیز می تواند به دو صورت تاثیر گذار باشد. اول اینکه با افزایش دانسته عیوب جاهای خالی و نابجایی های قفل شده که عمدتاً بر روی رسوبات ریز اولیه و مرزدانه ها می باشند محلهای مناسبی برای جوانه زنی غیر همگن در مرحله پیرسازی ثانویه ایجاد می گردد که این امر باعث تسريع در رسوب گذاری می شود.

نکته دوم این است که اتمهای محلول و عیوب موجود در آلیاژهای آلومینیم بر همکنش قوی روی همدیگر دارند که باعث نایابیاری ساختار می شود. تغییر مشخصه های محلول و تغییر نرخ نفوذ اتمهای محلول از آن دسته می باشد. در نزدیکی های دمای اتاق

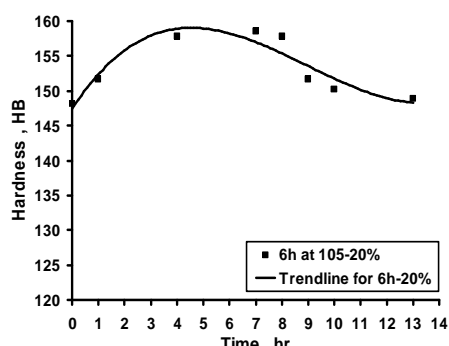
سختی تا رسیدن به یک بیشینه و سپس کاهش آن می باشد ولی آنچه مهم است افزایش بیشینه سختی به دست آمده با افزایش درصد نورد اعمالی در هر سه نمودار است. همچنین با افزایش درصد نورد بیشینه سختی در زمان کوتاهتری حاصل می گردد.



شکل ۵. تأثیر زمان پیرسازی ثانویه در دمای 120°C بر سختی در سیکلهای ترمومکانیکی (۶ و ۱۴ ساعت پیرسازی اولیه در 10°C درصد نورد سرد).

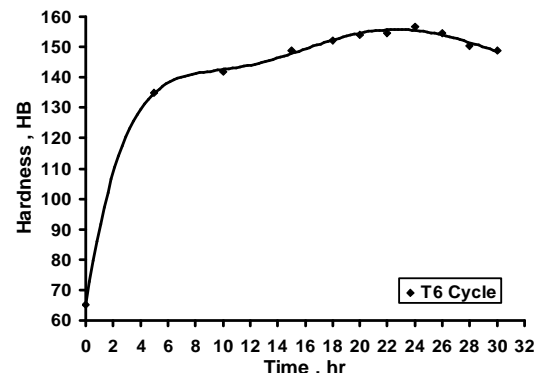


شکل ۶. تأثیر زمان پیرسازی ثانویه در دمای 120°C بر سختی در سیکلهای ترمومکانیکی (۶ و ۱۴ ساعت پیرسازی اولیه در 15°C درصد نورد سرد).

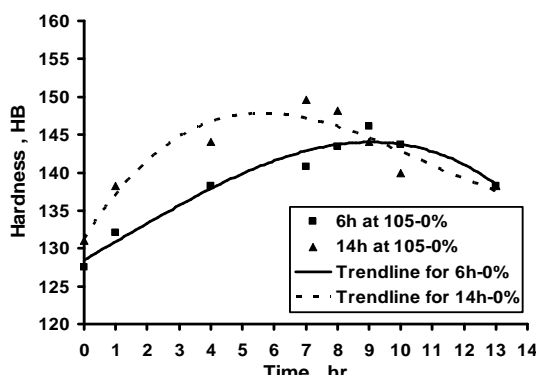


شکل ۷. تأثیر زمان پیرسازی ثانویه در دمای 120°C بر سختی در سیکلهای ترمومکانیکی (۶ ساعت پیرسازی اولیه در 20°C درصد نورد سرد).

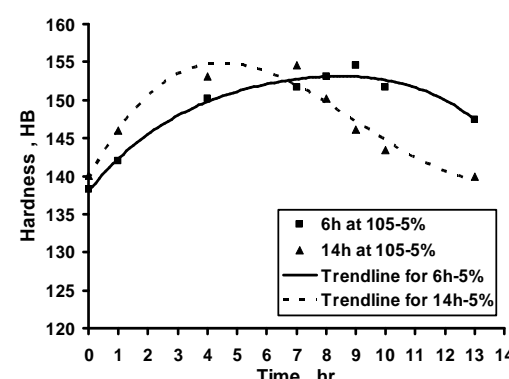
بررسی تأثیر پیرسازی ترمومکانیکی بر خواص مکانیکی آلیاژ آلومنیم ۷۰۷۵ و ۱۴ ساعت پیرسازی اولیه در دمای 10°C درجه سانتیگراد مشاهده می شود.



شکل ۲. تأثیر زمان پیرسازی در دمای 120°C بر سختی در سیکل T6.



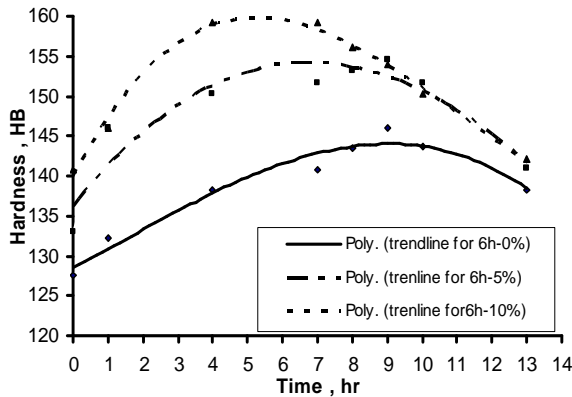
شکل ۳. تأثیر زمان پیرسازی ثانویه در دمای 120°C بر سختی در سیکلهای پیرسازی دوگانه (۶ و ۱۴ ساعت پیرسازی اولیه در 10°C درصد نورد سرد).



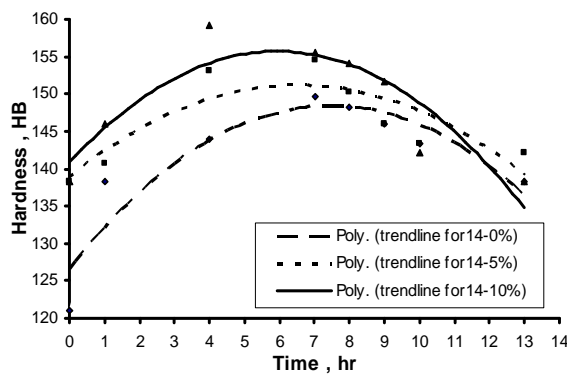
شکل ۴. تأثیر زمان پیرسازی ثانویه در دمای 120°C بر سختی در سیکلهای ترمومکانیکی (۶ و ۱۴ ساعت پیرسازی اولیه در 5°C درصد نورد سرد).

شکل کلی این نمودارها همانند نمودارهای قبلی حاکی از افزایش

باعث ۵۸ درصد کاهش در زمان کوره مصرفی توام با افزایش جزئی در سختی بیشینه بدست آمده در مقایسه با سیکل T6 شده است. با انتخاب این سیکل به عنوان بهینه خواص کششی این سیکل نیز مورد بررسی قرار گرفته است.

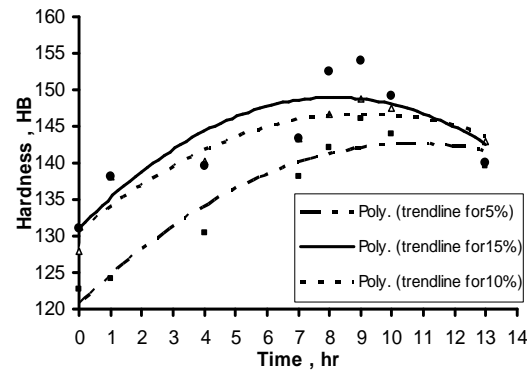


شکل ۹. تغییرات سختی نمونه های مربوط به ۶ ساعت پیرسازی اولیه در دمای 105°C بر حسب زمان در سیکلهای ترمومکانیکی با درصد های نورد متفاوت ۰ و ۵ و ۱۰



شکل ۱۰. تغییرات سختی نمونه های مربوط به ۱۴ ساعت پیرسازی اولیه در دمای 105°C بر حسب زمان در سیکلهای ترمومکانیکی با درصد های نورد متفاوت ۰ و ۵ و ۱۰

۳-۵. نتایج حاصل از تست کشش سیکل بهینه
پس از انتخاب سیکل ۶ ساعت پیرسازی اولیه، ۱۰ درصد نورد در دمای محیط و ۴ ساعت پیرسازی ثانویه، نمونه های آماده شده برای تست کشش نیز تحت این سیکل عملیات حرارتی شدند، که نتایج حاصل از تست کشش سیکل بهینه و سیکل T6 در جدول ۲ مورد مقایسه قرار گرفته اند. نتایج به دست آمده در جدول ۲ نشان می دهد که در اثر اعمال سیکل ترمومکانیکی مذکور، استحکام تسلیم، استحکام کششی آلیاژ آلمینیم ۷۰۷۵ در مقایسه با سیکل متداول T6 افزایش می یابد در حالی که درصد ازدیاد طول آلیاژ بدون تغییر باقی مانده است. به عبارت دیگر در مقایسه با سیکل T6، استحکام

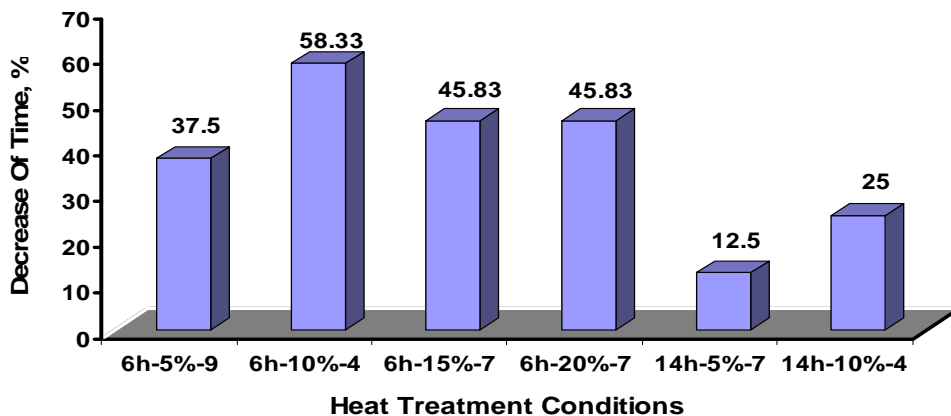


شکل ۸. تغییرات سختی نمونه های مربوط به پیرسازی اولیه طبیعی بر حسب زمان در سیکلهای ترمومکانیکی با درصد های نورد متفاوت ۵ و ۱۰ و ۱۵

سیکلهای ترمومکانیکی اعمال شده با توجه به زمان پیرسازی اولیه به دو دسته کلی تقسیم شده اند و بیشینه سختی بدست آمده در هر کدام از این سیکلها مورد بررسی قرار گرفت. مقایسه سختی های بیشینه بدست آمده در تمام این نمودارها با سختی نرمال T6 حاکی از این موضوع می باشد که در مقایسه با بیشینه سختی حاصل از سیکل T6 تفاوت چندانی نکرده اند.

اثر درصد نورد های مختلف بر بیشینه سختی حاصل را بدين شکل می توان توجیه نمود که افزایش شکل میانی علاوه بر اثرگذاری از طریقی که در بالا گفته شد محل های جوانه زنی مناسب بیشتری را نیز در مرحله پیرسازی ثانویه فراهم می کند زیرا نابجایی های ایجاد شده خود می توانند به عنوان محل های جوانه زنی مورد استفاده قرار گیرند بنابراین با افزایش درصد تغییر شکل با فراهم شدن این مکان ها توزیع نهایی رسوب ها پس از پیرسازی ثانویه به سمت رسوب های ریزتر و همگن تر حرکت می کند که در نهایت شاهد افزایش سختی خواهیم بود.

با مشاهده نمودارهای قبل نیز می توان دریافت که اعمال سیکلهای ترمومکانیکی تاثیر چندانی در مقدار بیشینه سختی بدست آمده ندارند، بلکه زمان رسیدن به بیشینه سختی را کاهش می دهند و از لحظه زمان استفاده از کوره های عملیات حرارتی مقرر به صرفه و اقتصادی می باشد. برای درک بهتر این موضوع نمودار شکل ۱۱ رسم گردیده است. در این نمودار درصد کاهش کل زمان پیرسازی (کل زمانی که یک نمونه تا رسیدن به بیشینه سختی خود در مجموع دو مرحله پیرسازی اولیه و ثانویه در کوره بوده است) سیکلهایی را که سختی بیشینه آنها در حد سختی بیشینه سیکل T6 بوده است، با همدیگر مقایسه می شود. همانطور که دیده می شود سیکل ۶ ساعت پیرسازی اولیه در دمای 105°C ، ۱۰ درصد نورد در دمای محیط و ۴ ساعت پیرسازی ثانویه در دمای 120°C به عنوان سیکل بهینه از لحظه زمان کاهش انتخاب گردید. این سیکل در مقایسه با سیکل T6



شکل ۱۱. درصد کاهش زمان کوره مصرفی سیکلهای با سختی قابل قبول در مقایسه با سیکل T6

اما نکته جالب توجه عدم درصد ازدیاد طول می باشد. دلیل این مطلب احتمالاً افزایش استحکام ناشی از اثر همزمان استحکام بخشی نابجاییها و رسوبها می باشد و حصول ترکیب مناسبی از رسوبهای ریز و یکنواخت می باشد.

۴. نتیجه گیری

در این پژوهش اثر پارامترهایی چون زمان پیرسازی اولیه و درصد تغییر شکل میانی در سیکل های پیرسازی ترمومکانیکی نهایی (FTMT) بر خواص مکانیکی آلیاژ ۷۰۷۵ مورد بررسی قرار گرفته و نتایج زیر حاصل گردیده است:

۱- مشاهده می شود که با افزایش زمان پیرسازی اولیه زمان رسیدن به بیشینه سختی در مرحله پیرسازی ثانویه به دلیل افزایش محلهای جوانه زنی برای رسوب گذاری در پیرسازی ثانویه کاهش می یابد.

۲- در اثر انجام کار سرد میانی، چگالی جاهای خالی و نابجایی ها افزایش می یابد. لذا با افزایش جاهای خالی و ایجاد کانالهای نابجایی ضریب نفوذ افزایش می یابد، که موجب تسريع سرعت رسوب گذاری در مرحله پیرسازی ثانویه می گردد.

۳- مشاهده می شود که سیکلهای ۶ و ۱۴ ساعت پیرسازی اولیه - ۱۰ درصد نورد و سیکل ۶ ساعت پیرسازی اولیه - ۲۰ درصد نورد پس از گذشت ۴ ساعت از شروع مرحله پیرسازی ثانویه به بیشینه سختی در حد بیشینه سختی سیکل T6 رسیده اند، که در هر سه سیکل با کاهش زمان پیرسازی مواجه می باشیم ولی از نظر زمان عملیات حرارتی و درصد نورد، سیکل ۶ ساعت پیرسازی اولیه - ۱۰ درصد نورد اقتصادی بوده و سیکل بینه می باشد.

۴- در سیکل ۶ ساعت پیرسازی اولیه - ۱۰ درصد نورد و ۴ ساعت پیرسازی ثانویه علاوه بر کاهش زمان پیرسازی به میزان ۱۴ (۵۸٪) در مقایسه با سیکل متداول T6 و دستیابی به سختی در حد سیکل T6، شاهد افزایش استحکام کشنی به میزان ۳۱ Mpa

تسلیم ۹ درصد و استحکام کشنی نیز ۵/۵ درصد افزایش داشته است.

انجام کار مکانیکی همراه با عملیات حرارتی در حضور ذرات رسوب اولیه (FTMT) به پایدار شدن ساختار فرعی نابجایی کمک می کند. آلیاژهای آلمینیم هنگامی که در دمای محیط و دامنه کرنشی حدود ۱۰٪ تغییر شکل داده می شوند ساختار نابجایی سلولی با دیواره های قفل شده در آنها ایجاد می شود. با افزایش میزان کرنش نابجایی های قفل شده چگالت و محکمتر شده و اندازه سلول تا اندازه ای، بسته به دما، کوچک می شود و تشکیل دانه های فرعی باعث افزایش استحکام طبق رابطه هال پچ می شود. مشخصه ساختار حاصل از انجام کار مکانیکی، یک ساختار فرعی سلولی است که در آن گره های نابجایی با چگالی زیاد جداره های سلول را تشکیل می دهند و با پیشروی کرنش نابجایی ها از سراسر سلول کنار رفته و گره را به جداره سلول متصل می کنند. لازمه ایجاد ساختار سلولی تغییر شکل با نرخ کرنش کم، دمای متوسط تغییر شکل و انرژی نقص انباستگی زیاد ماده است (آلیاژهای آلمینیم انرژی نقص انباستگی زیادی دارند).

از طرف دیگر چون آلیاژهای پیرسختی شده میزان و شکل رسوبات در افزایش استحکام مهم می باشد. در این آلیاژ با اعمال پیرسازی اولیه ساختار حاوی ترکیبی از رسوبات ریز و یکنواخت GP و Ν می باشد که باعث فعال شدن مکانیزمهای برش رسوب و اروان می گردد. هرچقدر میزان GP بیشتر باشد سخت شدن شیمیایی فعالتر می باشد زیرا فاصله رسوبات کم و نابجایی رسوب را خواهد برید و علاوه بر اینکه برش رسوب مستلزم انرژی بالایی می باشد، منجر به ایجاد لبه در رسوب می گردد که این نیز باعث افزایش استحکام خواهد شد. به طور کلی ترکیب مناسبی از رسوبات به همراه کار مکانیکی با ایجاد ساختار فرعی مناسبی از نابجایی ها تاثیر بسزایی در افزایش استحکام را دارد.

جدول ۲. نتایج حاصل از تست کشش سیکل بهینه و سیکل T6

نمونه	استحکام تسلیم (Mpa)	استحکام کششی (Mpa)	درصد ازدیاد طول ، %	سختی (HB)
T6	۵۰۳	۵۷۲	۱۱	۱۵۶
6h-10%-4h	۵۴۸	۶۰۳	۱۱	۱۵۹

(۵/۵٪) و افزایش استحکام تسلیم به میزان ۴۵ Mpa (۹٪) به علت اثر همزمان نابجایی ها و رسوبات می باشیم، در حالی که درصد ازدیاد طول آلیاژ تغییری نمی کند.

[8] Shercliff H. R. and Ashby M. F., "A Process Model for Age Hardening of Aluminum Alloys - I. The Model", *Acta Metall Mater*, Vol.38, No.10, 1990, PP. 1789-1802.

[9] Adler P. N., Deiasi R. and Geschwind G., "Influence of Microstructure on the Mechanical Properties and Stress Corrosion Susceptibility of 7075 Aluminum Alloys", *Metallurgical Transactions*, Vol.3, December 1972, pp. 3191-3200.

[10] McQueen H. J., *The Experimental Roots of Thermo Mechanical Treatments for Aluminum Alloys*.

[11] Russo E. Di, Conserva M., Gatto F. and Markus H., "Thermo Mechanical Treatments on High Strength Al-Zn-Mg(-Cu) Alloys", *Metallurgical Transaction*, Vol.4, April 1973, pp. 1133-1144.

[12] Waldman J., Sulinski H., Markus H., "The Effect of Ingot Processing Treatments on The Grain Size and Properties of Al Alloy 7075", *Metallurgical Transaction*, Vol.5, March 1974, pp.573-583

[۱۳] صادقی کورش، پایان نامه کارشناسی ارشد، بررسی تاثیر عملیات پیراسازی ترمومکانیکی (TMA) بر خواص آلیاژ ۷۰۷۵ آلمونیم، اردیبهشت ۱۳۸۰، دانشکده مهندسی مواد و متالورژی دانشگاه علم و صنعت ایران.

[14] Dieter J. E., *Mechanical Metallurgy*, McGraw Hill Publishing, london, 1988.

[15] Prasad A., Antonio C. D' and Mukherjee K., "Thermo Mechanical Processing of 7075 Aluminum Alloys".

[16] Deschamps A., Livet F. and Brechet Y., "Influence of Predeformation on Ageing in an Al-Zn-Mg Alloy - I. Microstructure Evolution and Mechanical Properties", *Acta Mater*, Vol.47, No.1, 1999, pp.281-292

[17] ASM Handbook, vol.2: *Properties and Selection: Non Ferrous Alloys and Special Purpose*.

مراجع

[۱] ابوطالبی محمدرضا، رعیت پور معصومه، مهتر قره داغی رضا، «بررسی تاثیر رژیم عملیات حرارتی بر ساختار و خواص آلیاژهای ۷۰۷۵ و ۲۰۲۴ آلمونیم»، دومین سمینار ملی مهندسی سطح، ۸ الی ۱۰ اردیبهشت ۱۳۷۶، دانشکده فنی دانشگاه تهران.

[2] Smith William, "Structure and Properties of Engineering Alloys", McGraw Hill Publishing, London, 1981.

[۳] آذری کامران، ابطحی کاظم، نجار آذری حمید، گلزار محمدعلی، «بررسی اثر پارامترهای عملیات ترمومکانیکی بر تبلور مجدد آلیاژ ۷۰۷۵ آلمونیم تهیه شده به روش نیمه مداوم-تبرید مستقیم»، یازدهمین سمینار سالانه جامعه ریخته گران ایران، ۱۳ الی ۱۵ اردیبهشت ۱۳۷۸، دانشگاه صنعتی شریف.

[4] Porter D. A., Easterling K. E., *Phase Transformation in Metal*, Chapman and hall publishing, second Edition, London, 1992.

[5] Deschamps A. and Brechet Y., "Influence of Predeformation and Ageing of an Al-Zn-Mg Alloy- II. Modeling of Precipitation Kinetics and Yield Stress", *Acta Mater*, Vol.47, No.1, 1999, pp. 293-305.

[6] De Ardo A. J., JR. and Simensen CHR. J., "A Structural Investigation of Multiple Ageing of Al-7%Zn-2.3%Mg", *Metallurgical Transactions*, Vol.4, October 1973, pp. 2413-2421.

[7] Novikov, *Theory of Heat Treatment of Metals*, Mir Publishers, Moscow, 1987.